

VIII. ANHANG

8.1 Sequenzen

8.1.1 Sequenz des Mdg1

ATGGCTACTCCACAGTCAGTTTTTCGTCCTTTGCAATCTGCATTTTAATGATAACAGAATT
AATCCTGGCCTCCAAAAGCTACTATGATATCTTAGGTGTGCCAAAGTCTGCCTCAGAG
CGACAAATCAAAAAGGCCTTTCACAAATTAGCCATGAAGTACCACCCTGACAAAAAT
AAAAGCCCTGATGCTGAAGCAAAATTCAGAGAGATTGCAGAAGCGTATGAAACACTC
TCGGATGCCAATAGTCGGAAAGAGTATGACACAATTGGAACACAGTGCTTTTACCAAT
GGCAAAGGACAAAGAGGCAATGGGAGTCCTTTTGAACAGTCATTTAACTTCAATTTTG
ATGACTTATTTAAAGACTTTAATTTTTTTGGTCAGAACCAAACACTCGGTTTAAAGAAGC
ATTTTGAAAACCACTTCCACACACGCCAGGATGGTTTTAGTAGACAAGGCATCACTTC
CAGGAGTTTTCTTTTGGAGGCGGATTGTTTGATGATATGTTTGAAGACATGGAGAAAA
TGTTTTCTTTTAGTGGCTTTGATACCACCAATCGACACACAGTACAGACTGAAAATAG
ATTCATGGATCTAGCAAGCACTGCAGGACTGTCACTCAACGAAGAGGAAATATGGTT
ACTACATACTGATTGTTTCAGGACAG

8.1.2 Sequenz des Mdg1(96-222)

GGCAAAGGACAAAGAGGCAATGGGAGTCCTTTTGAACAGTCATTTAACTTCAATTTTG
ATGACTTATTTAAAGACTTTAATTTTTTTGGTCAGAACCAAACACTCGGTTTAAAGAAGC
ATTTTGAAAACCACTTCCACACACGCCAGGATGGTTTTAGTAGACAAGGCATCACTTC
CAGGAGTTTTCTTTTGGAGGCGGATTGTTTGATGATATGTTTGAAGACATGGAGAAAA
TGTTTTCTTTTAGTGGCTTTGATACCACCAATCGACACACAGTACAGACTGAAAATAG
ATTCATGGATCTAGCAAGCACTGCAGGACTGTCACTCAACGAAGAGGAAATATGGTT
ACTACATACTGATTGTTTCAGGACAG

8.1.3 Sequenz des vorderen Abschnitts des C-Terminus:

Mdg1(96-153)

GGCAAAGGACAAAGAGGCAATGGGAGTCCTTTTGAACAGTCATTTAACTTCAATTTTG
ATGACTTATTTAAAGACTTTAATTTTTTTGGTCAGAACCAAACACTCGGTTTAAAGAAGC
ATTTTGAAAACCACTTCCACACACGCCAGGATGGTTTTAGTAGACAAGGCATCACTTC
CAGGAGTTTTCTTTTGGAGGCGGATT

8.1.4 Sequenz des mittleren Abschnitts des C-Terminus:

Mdg1(125-180)

GGTCAGAACCAAACACTCGGTTTAAGAAGCATTTTGAAAACCACTTCCACACACGCCA
GGATGGTTTTAGTAGACAAGGCATCACTTCCAGGAGTTTTCTTTGGAGGCGGATTGTT
TGATGATATGTTTGAAGACATGGAGAAAATGTTTTCTTTTAGTGGCTT

8.1.5 Sequenz des hinteren Abschnitts des C-Terminus:

Mdg1(154-222)

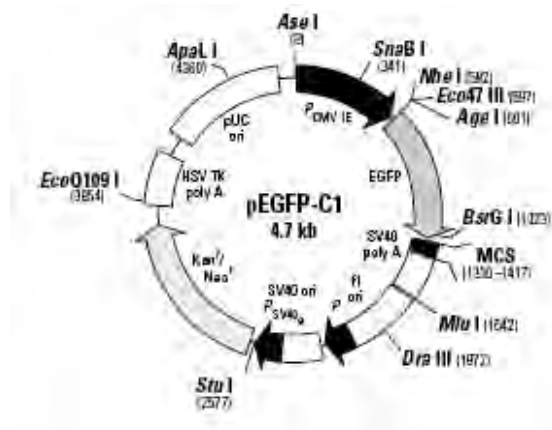
GGAGGCGGATTGTTTGATGATATGTTTGAAGACATGGAGAAAATGTTTTCTTTTAGTG
GCTTTGATACCACCAATCGACACACAGTACAGACTGAAAATAGATTTTCATGGATCTAG
CAAGCACTGCAGGACTGTCACTCAACGAAGAGGAAATATGGTTACTACATACTGAT
TG TTCAGGACAG

8.1.6 Sequenz des Mdg1-myc-intern:

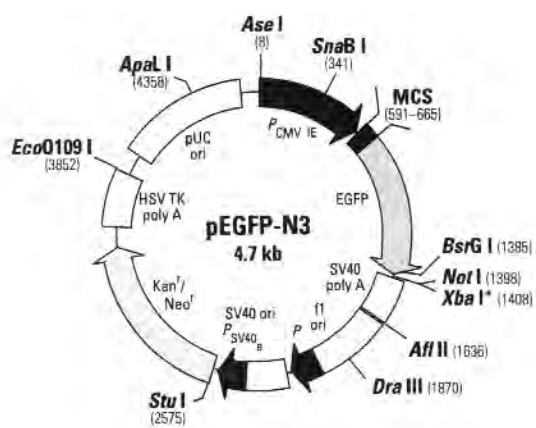
ATGGCTACTCCACAGTCAGTTTTTCGTCTTTGCAATCTGCATTTTAATGATAACAGAATT
AATCCTGGCCTCCAAAAGCTACTATGATATCTTAGGTGTGCCAAAGTCTGCCTCAGAG
CGACAAATCAAAAAGGCCTTTCACAAATTAGCCATGAAGTACCACCCTGACAAAAAT
AAAAGCCCTGATGCTGAAGCAAAATTCAGAGAGATTGCAGAAGCGTATGAAACACTC
TCGGATGCCAATAGTCGGAAAGAGTATGACACAATTGGAACACAGTGCTTTTACCAAT
GGCAAAATGGAGCAGAAGTTGATATCAGAGGAGGACCTGGGACAAAGAGGCAATGG
GAGTCCTTTTGAACAGTCATTTAACTTCAATTTTGATGACTTATTTAAAGACTTTAATTT
TTTTGGTCAGAACCAAACACTCGGTTTAAGAAGCATTTTGAAAACCACTTCCACACAC
GCCAGGATGGTTTTAGTAGACAAGGCATCACTTCCAGGAGTTTTCTTTTGGAGGCGGA
TTGTTTGATGATATGTTTGAAGACATGGAGAAAATGTTTTCTTTTAGTGGCTTTGATAC
CACCAATCGACACACAGTACAGACTGAAAATAGATTTTCATGGATCTAGCAAGCACTGC
AGGACTGTCCTCAACGAAGAGGAAATATGGTTACTACATACTGATTGTTTCAGGAC
AG

8.2 Vektoren

8.2.1 pEGFP-C1



8.2.2 pEGFP-N3



Publikationen

Pothmann, D., Ulusans, S., Pröls, F. & Klisch, J.

Liquid 2-P-HEMA for endovascular tumor therapy: in vivo feasibility study

Med Sci Monit 10, 286-293 (2004).

Pothmann, D., Müller, T.S., Huth, U., Peschka-Süss, R., Christ, B., Pröls, F.

Identification of domains that control the subcellular localization of the molecular chaperone Mdg1

Poster im Rahmen des 56. Mosbacher Kolloquiums der Gesellschaft für Biochemie und Molekularbiologie (2005).